

基研研究会  
場の量子論 2002」

# **Strings on PP-waves from Super Yang-Mills**

A review of the recent progress in  
the duality between string theory on  
pp-waves and super Yang-Mills theory

高柳 匡 (東大理)

# Introduction

最近、pp-wave背景におけるType IIB超弦理論(M理論)と、それと双対の関係にある超対称ゲージ理論の研究が盛んに行われている。

## その発端となった2つの発見

Blau-Figueroa O'Farrill-Hull-Papadopoulos  
(hep-th/0110242,0201081)

Brenstein-Maldacena-Nastase (BMN)  
(hep-th/0202021)

Type IIB超重力理論には、最大の超対称性(32個)をもつ重力波解(pp-wave)が存在し、それは  $AdS_5 \times S^5$  のある極限 (Penrose limit)として得られる！

Metsaev (hep-th/0112044)

IIB pp-waveの背景にはRR-fluxが存在するにもかかわらず、light-cone gaugeで、弦理論として厳密に解ける！

# AdS/CFT対応(Maldacena 97')

4次元N=4 SU(N)  
ゲージ理論

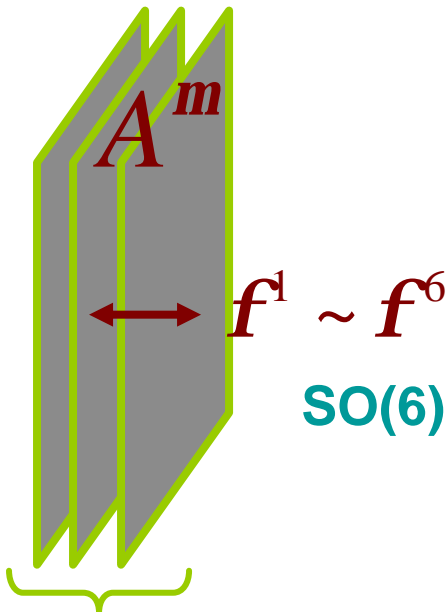
$b = 0$

共形不変な理論  
(CFT)  $SO(4,2)$

IIB String(SUGRA)

on  $AdS_5 \times S^5$

$SO(4,2)$   $SO(6)$



$SO(6)$

N枚のD3-brane



D3-braneのnear  
horizon を背景と  
する重力理論

$$g_{YM}^2 = 4\pi g_s$$

$$l \equiv g_{YM}^2 N \sim R^4$$

例

$$\text{Tr}[f^{i_1} f^{i_2} \dots f^{i_k}]$$



Kaluza-Kleinモード

$\sim Y_k(\Omega_5)$

↓ pp-wave limit  
(Penrose limit)

Brenstein-Maldacena-Nastase (BMN)

pp-wave背景の超弦理論と4次元  
N=4超対称 Large N ゲージ理論の  
ある特定のsubsectorは双対である。

↓  
'almost BPS operators'  
から成る1次元量子力学系

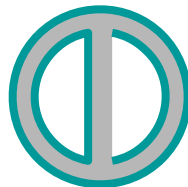
---

Cf. Large N ゲージ理論と弦理論 ('t Hooft 1974)

摂動計算  $\sim \sum_{g=0}^{\infty} \left(\frac{1}{N}\right)^{2(g-1)} f_g(\mathbf{I})$  : YMの $\frac{1}{N}$ 展開

$\sum_{g=0}^{\infty} (g_s)^{2(g-1)} f_g(\mathbf{I})$  : 弦の結合定数展開

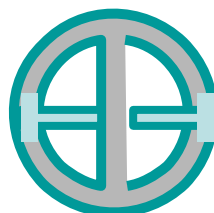
planar g=0



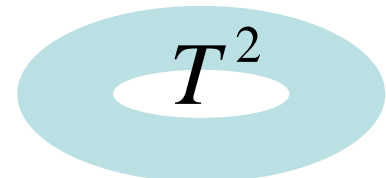
~



nonplanar g=1



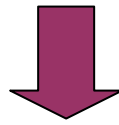
~



⋮

## BMN双対性の長所

- 超弦理論側が厳密に解ける。
- ゲージ理論側の計算が、almost BPS operatorに関してはBPSでなくても比較的容易である。



超弦理論の結果とゲージ理論の摂動論の計算を具体的に比較できる。

(Cf.従来のAdS/CFTでは、超重力理論と双対なのはゲージ理論の強結合領域であり、比較がBPSな場合に限定されていた。)

### 例

弦のスペクトラム ↔ ゲージ理論の演算子の共形次元

Light-cone String Field Theoryの3点相互作用 ↔ 三点関数

# Contents

Introduction

Penrose Limit and PP-Waves

Strings on PP-Waves

BMN duality

Various PP-wave/Gauge dualities

Light-cone String Field Theory

from Super Yang-Mills

Conclusions and Discussions

# PP-Waves and Penrose Limit

## PP-wave とは？

plane-fronted gravitational waves with parallel rays  
~ covariant const. vector in the null direction

$$ds^2 = -2dx^+ dx^- + H(x^+, x^i)(dx^+)^2 + \sum_{i=1}^8 (dx^i)^2$$

Brinkmann 1923

(a) Einstein 方程式 (Ricci flat) より

$$\partial_i \partial_i H = 0 \quad (= R_{++}). \quad (\text{Laplace 方程式})$$

(b) Type IIB 超重力 (弦)理論 ではRR-5formが存在するので次のように運動方程式が変形される。

$$\partial_i \partial_i H = -\frac{1}{3} F_{+jklm} F_{+jklm}.$$

特に  $H(x^+, x^i) = -m^2 \sum_{i=1}^8 (x^i)^2$  とすると最大の超対称性 (32個)をもつpp-waveとなる。

(Blau-Figueroa O'Farrill-Hull-Papadopoulos hep-th/0110242)

cf. 32 SUSY solution: flat, AdS5 × S5 and the pp-wave

# Penrose 極限とは？

Penrose 76' "Any spacetime has a plane wave as a limit."

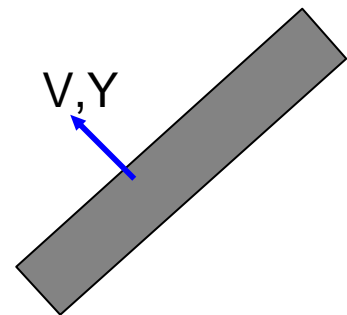
リーマン多様体	↔	擬リーマン多様体
点	↔	ヌル測地線
接空間 $T_p$	↔	'Penrose 極限'

一般の計量 (一般座標変換を用いる)

$$ds^2 = dV(dU + \mathbf{a}(U, V, Y^i)dV + \sum_i \mathbf{b}_i(U, V, Y^i)dY^i) + \sum_{ij} C_{ij}(U, V, Y^i)dY^i dY^j$$

Penrose limit  $\Omega \rightarrow 0$

$$\underbrace{U = u}_{\text{boosting}}, \underbrace{V = \Omega^2 v}_{\text{localizing}}, \underbrace{Y^i = \Omega y^i}_{\text{localizing}}$$



$$ds'^2 = \Omega^{-2} ds^2 = dudv + \sum_{ij} C_{ij}(u) dy^i dy^j$$

(Rosen coordinate)

↕ Equivalent

$$ds''^2 = -2dx^+ dx^- + \sum_{ij} A(x^+)_{ij} x^i x^j (dx^+)^2 + \sum_i (dx^i)^2$$

(Brinkmann coordinate)



それでは、 $AdS_5 \times S^5$  のPenrose極限を考える。

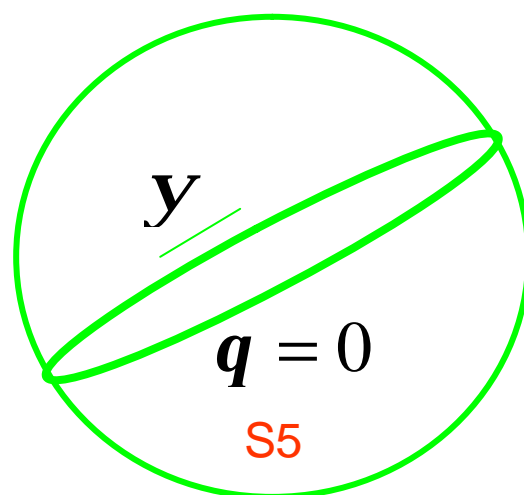
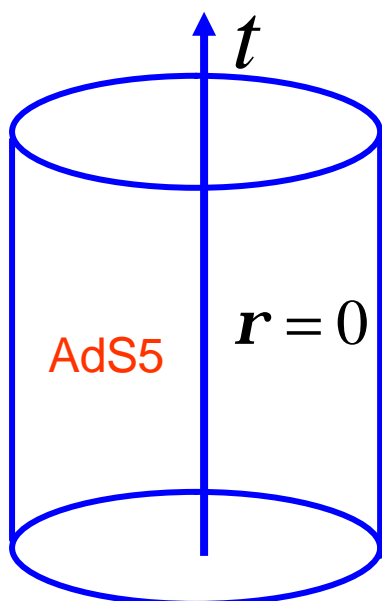
## 今回使う座標の定義 (Global Coordinate)

$AdS_5$	$S^5$
$x_0^2 + x_1^2 - x_2^2 - x_3^2 - x_4^2 - x_5^2 = R^2$	$Y_1^2 + Y_2^2 + Y_3^2 + Y_4^2 + Y_5^2 + Y_6^2 = R^2$
$\left\{ \begin{array}{l} X_0 = R \cosh r \cos t \\ X_1 = R \cosh r \sin t \quad (i=2 \sim 5) \\ X_i = R \sinh r \Omega_i \end{array} \right.$	$\left\{ \begin{array}{l} Y_1 = R \cos q \cos y \\ Y_2 = R \cos q \sin y \quad (i=3 \sim 6) \\ Y_i = R \sin q \Omega'_i \end{array} \right.$

### この座標での計量

$$ds^2 = R^2 \left[ - (dt)^2 \cosh^2 r + (dr)^2 + \sinh^2 r (d\Omega_3)^2 \right] \text{AdS5}$$

$$+ R^2 \left[ (dy)^2 \cos^2 q + (dq)^2 + \sin^2 q (d\Omega'_3)^2 \right] \text{S5}$$



## AdS5 × S5のPenrose 極限

又測地線を  $t = y$ ,  $r = q = 0$  とする。

$$x^+ = \frac{t + y}{2m}, \quad x^- = R^2 m^2 (t - y), \quad r = Rr, \quad y = Rq$$

$$\text{極限} : R = (4p g_s N a'^2)^{\frac{1}{4}} \xrightarrow{N \rightarrow \infty} \infty$$

結果は、最大の超対称性をもつpp-wave解となる。

$$\begin{aligned} ds^2 &= -2dx^+ dx^- - m^2 (r^2 + y^2)(dx^+)^2 \\ &\quad + dr^2 + r^2 (d\Omega_3)^2 + dy^2 + y^2 (d\Omega_3')^2 \\ &= -2dx^+ dx^- - m^2 \sum_{i=1}^8 (X^i)^2 (dx^+)^2 + \sum_{i=1}^8 (dX^i)^2, \end{aligned}$$

with the self-dual RR5-form flux  $F_{+1234} = F_{+5678} = m$

(注) 同様に最大 (32個) の超対称性を有する  
11次元超重力理論 (M理論) のpp-wave解 (KG解)  
は、 $AdS_{4,7} \times S^{7,4}$  のPenrose極限となっている。

M2, M5-brane

$$\begin{aligned} ds^2 &= -2dx^- dx^+ - \left[ \left( \frac{m}{3} \right)^2 \sum_{i=1}^3 x_i^2 + \left( \frac{m}{6} \right)^2 \sum_{i=4}^9 x_i^2 \right] (dx^+)^2 \\ &\quad + \sum_{i=1}^9 (dx_i)^2 \end{aligned}$$

Kowalski-Glikman 1984

## Killing Spinor

$$ds^2 = -2dx^- dx^+ + \frac{1}{4} \left( \sum_{i,j=1}^8 A_{ij} x^i x^j \right) (dx^+)^2 + \sum_{i=1}^8 (dx^i)^2$$

$$F = \mathbf{m} dx^+ \wedge (dx^1 \wedge dx^2 \wedge dx^3 \wedge dx^4 + dx^5 \wedge dx^6 \wedge dx^7 \wedge dx^8)$$

gravitinoの超対称性変換:  $\mathbf{d}\mathbf{y}_m = (\nabla_m + \Omega_m)\mathbf{h} = 0$

共変微分    RR-flux

$$\Omega_m \equiv -\frac{i}{480} F_{abgde} \Gamma^{abgde} \Gamma_m \mathbf{h}$$

$$\mathbf{h} = \left( 1 + \frac{im}{2} \sum_{i=1}^4 x^i \Gamma^+ \Gamma^i \Gamma^{1234} + \frac{im}{2} \sum_{i=5}^8 x^i \Gamma^+ \Gamma^i \Gamma^{5678} \right) \mathbf{c}(x^+)$$

$$\left( \partial_+ + \frac{im}{2} (\Gamma^{1234} + \Gamma^{5678}) \right) \mathbf{c} - \left( \frac{1}{8} \sum_{i,j} A_{ij} x^i \Gamma^j + \frac{m^2}{2} \sum_i x^i \Gamma^i \right) \Gamma^+ \mathbf{c} = 0$$

•  $A_{ij}$ が一般のとき、16個の超対称性( $\Gamma^+ \mathbf{c} = 0$ )が存在する。

• 特に、 $A_{ij} = -4m^2 d_{ij}$  のとき32個の超対称性(最大の個数)が存在する。

$$\mathbf{c} = \exp\left(-\frac{im}{2} x^+ (\Gamma^{1234} + \Gamma^{5678})\right) \mathbf{c}^{(0)}$$

# SUSY代数 (IIB maximal susy pp-wave)

(Blau-Figueroa O'Farrill-Hull-Papadopoulos hep-th/0110242)

## 30 Killing Vectors

$$P^- = \partial_+, \quad P^+ = \partial_-, \quad P^i = \cos(\mathbf{m}\kappa^+) \partial_i + \mathbf{m} \sin(\mathbf{m}\kappa^+) x^i \partial_-,$$

$$J^{+i} = \frac{1}{\mathbf{m}} \left( \sin(\mathbf{m}\kappa^+) \partial_i - \mathbf{m} \cos(\mathbf{m}\kappa^+) x^i \partial_- \right),$$

$$J^{ij} = x^i \partial_j - x^j \partial_i \quad (i, j = 1 \sim 4 \text{ or } i, j = 5 \sim 8)$$

## SUSY代数

$$[P^-, P^i] = \mathbf{m}^2 J^{+i}, \quad [P^i, J^{+i}] = -\mathbf{d}^{ij} P^+, \quad [P^-, J^{+i}] = P^i,$$

$$[P^i, J^{jk}] = \mathbf{d}^{ij} P^k - \mathbf{d}^{ik} P^j, \quad [J^{+i}, J^{jk}] = \mathbf{d}^{ij} J^{+k} - \mathbf{d}^{jk} J^{+j},$$

$$[J^{ij}, J^{kl}] = \mathbf{d}^{jk} J^{il} + 3 \text{terms}, \quad (P^+ \text{はすべてと可換})$$

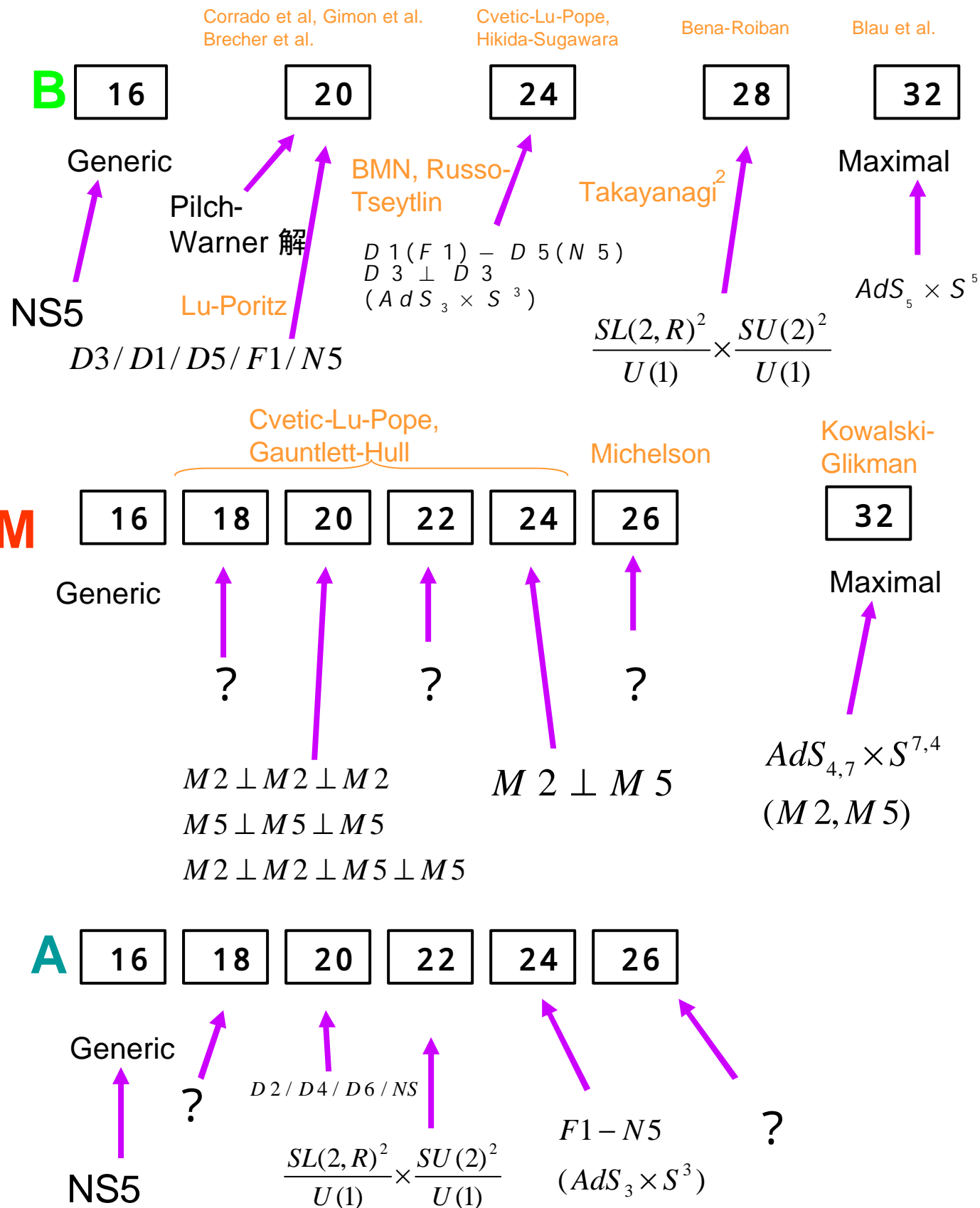
$$[P^-, Q] = \mathbf{m}(\Gamma^{1234} + \Gamma^{5678})Q, \quad [P^i, Q] = -\mathbf{m}\Gamma^{1234} \Gamma_i \Gamma_+ Q,$$

$$[J^{+i}, Q] = -\Gamma^{1234} \Gamma_i \Gamma_+ Q \quad (i = 1, 2, 3, 4), \quad [J^{ij}, Q] = \Gamma^{ij} Q$$

$$\{Q, Q\} \sim P^\pm + \mathbf{m}J^{+i} + \mathbf{m}J^{ij}$$

この代数は  $AdS_5 \times S^5$  のPenrose limitとしても得られる。 (Hatsuda-Kamimura-Sakaguchi hep-th/0202190)

# 様々なPP-wave解の超対称性



# Strings on PP-waves

RRfluxが存在しているが、pp-wave背景の超弦理論はGreen-Schwarz形式のlight-coneゲージで量子化することができる。(Metsaev, hep-th/0112044)

Green-Schwarz形式  $\left\{ \begin{array}{l} 10 \text{ bosons: } X^+, X^-, X^i \ (i=1 \sim 8) \\ 32 \text{ fermions: } \mathbf{q}^1_a, \mathbf{q}^2_a \ (\mathbf{a}=1 \sim 16) \end{array} \right.$

Light-cone ゲージ:  $X^+ = 2\mathbf{a}' p^+ t, \quad \Gamma^+ \mathbf{q}^1 = \Gamma^+ \mathbf{q}^2 = 0$

$$S_{LC} = \frac{1}{p\mathbf{a}'} \int dt ds (\partial_+ X^i \partial_- X^i - \underline{(\mathbf{m}\mathbf{a}' p^+)^2 X^i X^i})$$

$$+ \frac{i}{p} \int dt ds (S^{1a} \partial_+ S^{1a} + S^{2a} \partial_- S^{2a} - \underline{2\mathbf{m}\mathbf{a}' p^+ S^{1a} \Pi_{ab} S^{2b}})$$

$(\partial_{\pm} \equiv \frac{1}{2}(\partial_t \pm \partial_s), \quad \Pi \equiv \Gamma^1 \Gamma^2 \Gamma^3 \Gamma^4)$

ボソンの質量項  $\sim \mathbf{m}^2 (X^i)^2 \partial_+ X^+ \partial_- X^+$  (pp-wave metric)

フェルミオンの質量項  $\sim \partial^a X^m \bar{\mathbf{q}} \mathbf{g}_m D_a \mathbf{q}$

$$D_a \equiv \partial_a + \frac{1}{4} \mathbf{W}_m^{ns} \Gamma_{ns} \partial_a X^m - \frac{i}{480} \Gamma^{mnrst} \Gamma_e \partial_a X^e \underline{F_{mnrst}}$$

(RR-flux)

従ってlight-coneゲージでは、自由場理論となり厳密に解ける。

## モード展開

$$X^i(t, \mathbf{s}) = \cos(2\mathbf{ma}' p^+ t) x_0^i + \frac{1}{mp^+} \sin(2\mathbf{ma}' p^+ t) p_0^i + i\sqrt{\frac{a'}{2}} \sum_{n \neq 0} \left( \frac{\mathbf{a}_n^i}{\mathbf{w}_n} e^{-2i\mathbf{w}_n t - 2ins} + \frac{\tilde{\mathbf{a}}_n^i}{\mathbf{w}_n} e^{-2i\mathbf{w}_n t + 2ins} \right)$$

$$\text{where } \mathbf{w}_n = \begin{cases} \sqrt{n^2 + (\mathbf{ma}' p^+)^2} & (n \geq 0) \\ -\sqrt{n^2 + (\mathbf{ma}' p^+)^2} & (n < 0) \end{cases}$$

## 正準量子化

$$[\mathbf{a}_n^i, \mathbf{a}_m^j] = [\tilde{\mathbf{a}}_n^i, \tilde{\mathbf{a}}_m^j] = \mathbf{w}_n \mathbf{d}_{n+m} \mathbf{d}^{ij},$$

$$\{S_n^a, S_m^b\} = \{\tilde{S}_n^a, \tilde{S}_m^b\} = \mathbf{d}_{n+m} \mathbf{d}^{ab}$$

# スペクトラム

Metsaev-Tseytlin hep-th/0202109,

BMN, hep-th/0202021

$$H_{Lc} = -p^- = \sum_{n=-\infty}^{\infty} N_n \sqrt{\mathbf{m}^2 + \left( \frac{n}{\mathbf{a}' p^+} \right)^2} \geq 0$$

Level matching condition:  $P = \sum_{n=-\infty}^{\infty} n N_n = 0$

left-moving

$$N_n \equiv \begin{cases} n > 0 & \text{the number of } a_n^{+i} (\equiv \mathbf{a}_{-n}^i), S_n^{+a} (\equiv S_{-n}^a) \\ n = 0 & \text{the number of } a_0^{+i} (\equiv \mathbf{a}_0^i), S_0^{+a} (\equiv S_0^a) \\ n < 0 & \text{the number of } a_n^{+i} (\equiv \tilde{\mathbf{a}}_n^i), S_n^{+a} (\equiv \tilde{S}_n^a) \end{cases}$$

right-moving

(注) 上の式は次のように書き直せる。

$$\frac{\mathbf{a}'}{2} (m_{2D})^2 \sim -p^- p^+ = \sum_{n=-\infty}^{\infty} N_n \sqrt{n^2 + (\mathbf{m} \mathbf{a}' p^+)^2}$$

$\downarrow \mathbf{m} \rightarrow 0$

$$N_L + N_R$$



# BMN duality

•AdS/CFT対応の`Penrose limit'を考える。

**String on  $AdS_5 \times S^5$   $\longleftrightarrow$  4D N=4 SYM (CFT4)**

**$SO(4,2) \times SO(6)$ =共形対称性  $\times$  R対称性**

**a string(or SUGRA) state**

$$\mathbf{j}_{SUGRA}(x^m, t) \sim e^{i\Delta t + Jy}$$

**a single trace operator**

$$\begin{cases} \text{共形次元} = \Delta \\ U(1)_R \text{ charge} = J \end{cases}$$



*'Penrose limit'*

**String on the pp-wave  $\longleftrightarrow$  A subsector of 4D**

**Large N N=4 SYM**

**a string state**  
( $m=1$ )

**an almost BPS operator**

$$\Delta \sim J \sim O(R^2)$$

$$p^- = i\partial_{x^+} = i(\partial_t + \partial_y) = \Delta - J$$

$$p^+ = i\partial_{x^-} = \frac{i}{2R^2}(\partial_t - \partial_y) = \frac{\Delta + J}{2R^2}$$

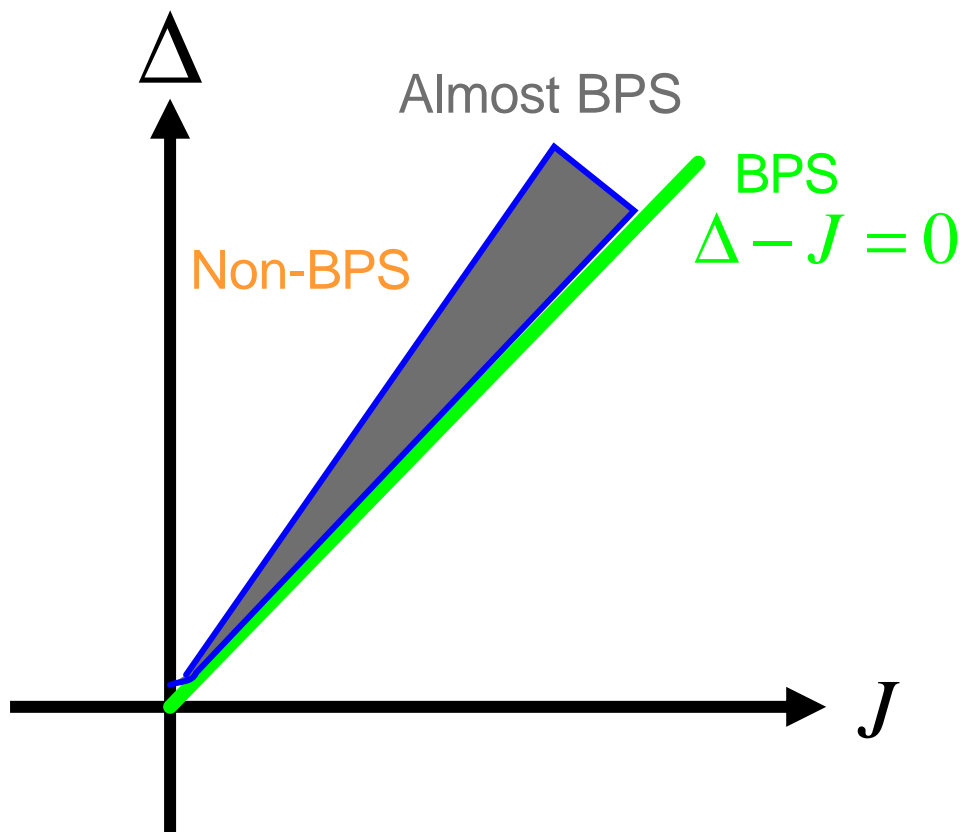
(補足)

$$\Delta - J = 0 \longrightarrow \text{BPS}$$

‘Almost BPS’とは

$$\Delta \sim J \sim O(\sqrt{g_{YM}^2 N}) \gg 1, \quad \Delta - J = \text{有限}$$

$(N \rightarrow \infty)$



# 直感的イメージ

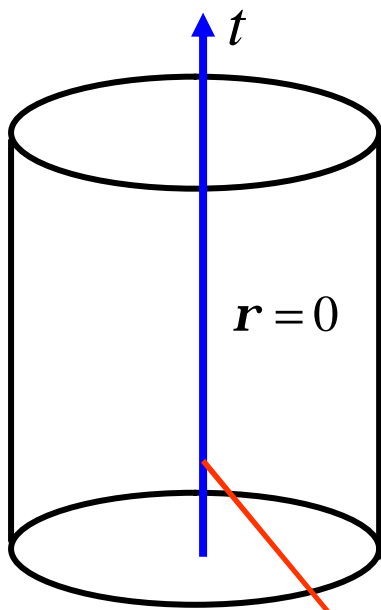
**AdS<sub>5</sub>**

共形対称性

$$SO(4,2)$$

U

$$\Delta \in SO(1,1)$$



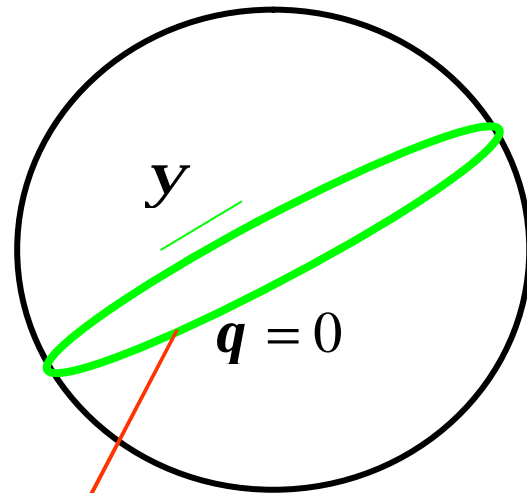
**S<sup>5</sup>**

R対称性

$$SU(4) \cong SO(6)$$

U

$$J \in U(1)$$



Penrose limit ~ 2D部分の重力?

Holography

1D 量子力学  $\subset$  N=4 SYM

pp-waveの境界は一次元 (ヌル方向) (Berenstein-Nastase)

それでは、ゲージ理論と弦理論の具体的対応を調べてみる。

### 4D N=4 超対称ゲージ理論

ボソン:  $(\overset{\text{vector}}{A_1, A_2, A_3, A_4}) + (\overset{\text{scalars}}{f_1, f_2, f_3, f_4, Z, \bar{Z}})$

$J=0$   $J=1$   $J=-1$

フェルミオン:  $c_{J=1/2}^a, c_{J=-1/2}^a$  ( $a = 1 \sim 8$ )

### 弦理論のスペクトラムをゲージ理論で解釈すると

$$p^- = \sum_{n=-\infty}^{\infty} N_n \sqrt{1 + \left(\frac{n}{a' p^+}\right)^2} \quad \text{より}$$

$$\Delta - J = \sum_{n=-\infty}^{\infty} N_n \sqrt{1 + \frac{4p g_s N n^2}{J^2}}$$

有効結合定数(有限)

真空状態 ( $p^- = \Delta - J = 0$ ) の対応  $(4p g_s = g_{YM}^2)$

$$\text{Tr}[Z^J] \leftrightarrow |0, p^+\rangle$$

## (almost) BPS 演算子

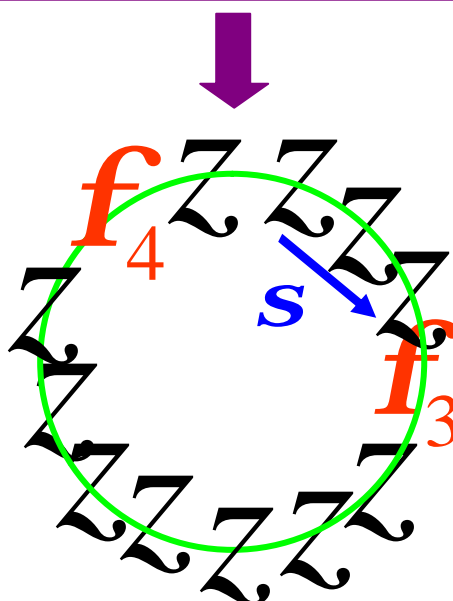
・ゲージ理論の演算子(  $-J=1$ のものだけ考える)と弦理論の生成演算子が次のように対応する。

$$\begin{aligned} D_i Z &\leftrightarrow a_n^{+i} \quad (i=1,2,3,4) \\ \mathbf{f}_i &\leftrightarrow a_n^{+(i+4)} \quad (i=1,2,3,4) \\ \mathbf{c}_{J=1/2}^a &\leftrightarrow S_n^a \quad (a=1\sim 8) \end{aligned}$$

整数 $n$ は、弦の世界面(2D)の運動量と解釈される。

$$\sum_{l=0}^J e^{2\pi i \frac{nl}{J}} \text{Tr}[\mathbf{f}_3 Z^l \mathbf{f}_4 Z^{J-l}] \leftrightarrow a_n^{+8} a_{-n}^{+7} |0, p^+\rangle$$

‘string’ of Z’s



(注)  $n=0$ のときはトレースが対称になるので、BPS となり Kaluza-Kleinモード(ゼロモード)と対応する。

## Anomalous dimension

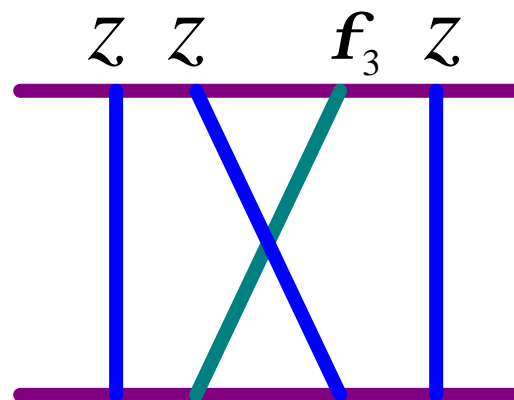
・前述のゲージ理論との対応の検証として、共形次元の量子補正(anomalous dimension)を計算する。

$$O_n = \sum_{l=0}^J e^{2\pi i \frac{nl}{J}} \text{Tr}[\mathbf{f}_3 Z^l \mathbf{f}_4 Z^{J-l}]$$

特に、 $n=0$ の場合はBPSなので、 $(\Delta-J)_{n=0}=2$  となる。よって、 $l$  の値を変える相互作用を計算すればよい。

$$S_{\text{int}} = \frac{1}{pg_s} \int (dx)^4 \left( \sum_{i=1}^4 \text{Tr}[\mathbf{f}_i Z \mathbf{f}_i Z] \right)$$

対応する planar diagram  
(Large  $N$  limitを考え、 $1/N$ 補正を無視する)



•このとき、2点関数をgNの一次まで計算すると、

$$\begin{aligned}\langle O_n(x)O_n^*(0) \rangle &= \frac{C}{|x|^{2(J+2)}} \left[ 1 + \frac{8pg_s N (e^{2pin/J} + e^{-2pin/J} - 2)}{J^2} \right. \\ &\quad \left. \times \int \frac{(dy)^4}{4p^2} \frac{|x|^4}{|y|^4 |x-y|^4} + \dots \right] \\ &= \frac{C}{|x|^{2(J+2)}} \left[ 1 - \frac{8pg_s N n^2}{J^2} \log |x| + \dots \right].\end{aligned}$$

よって、anomalous dimension は

$$\Delta = (J + 2) + \frac{4pg_s N n^2}{J^2} + \dots \approx J + 2 \sqrt{1 + \frac{4pg_s N n^2}{J^2}}$$

と求まり、弦理論からの予想とO(gN)で一致する。

(その後の進展)

g<sup>2</sup>N<sup>2</sup>の検証: [Gross-Mikhailov-Roiban hep-th/0205066](#)

All orderの検証: [Santambrogio-Zanon hep-th/0206079](#)

しかしながら、実際には  $\frac{1}{N}$  補正を無視できない!

Kristjansen-Plefka-Semenoff-Staudacher hep-th/0205033,  
Constable-Freedman-Headrick-Minwalla  
-Motl-Postnikov-Skiba hep-th/0205089.

何故なら、 $J \sim O(N^{1/2})$  も同時に発散するからである。

### 例 1 (2点関数)

$$N^{-J} J^{-1} \langle \text{Tr} Z(x)^J \text{Tr} \bar{Z}(0)^J \rangle = \frac{\sinh(J^2 / 2N)}{J^2 / 2N} (2px)^{-2J}$$

そこで新しい結合定数  $g_2 = \frac{J^2}{N}$  を定義する。

### 例 2 (anomalous dim.)

$$\Delta - J = 2 + I' n^2 - \frac{g_2^2 I'}{4p^2} \left( \frac{1}{3} + \frac{5}{2p^2 n^2} \right) + \dots$$

弦理論の 2点関数の 1-loop 補正

よって 2つのパラメータ

$$I' = \frac{g_{YM}^2 N}{J^2} \quad \text{と} \quad g_2 = \frac{J^2}{N} \quad \text{で記述される。}$$



# Various PP-wave/Gauge Dualities

## (i) SUSY enhancement

conifold型特異点に置かれたD3-brane を考える。  
(Klebanov-Witten)

$$AdS_5 \times T^{1,1} \quad \left( T^{1,1} = \frac{SU(2) \times SU(2)}{U(1)} \right)$$

8個の超対称性

↓ Penrose limit

Itzhaki-Klebanov-Mukhi hep-th/0202153

Gomis-Ooguri hep-th/0202157

Zayas-Sonnenschein hep-th/0202186

最大の超対称性( 32個 )を持つpp-wave解

この事実をゲージ理論側で解釈すると、N=1 SYM (G=SU(N) × SU(N)) に、N=4にenhanceした超対称性を持つセクターが存在することを意味する。

Cf. Pilch-Warne解 (with NSNS, RR 3-form)

N=1 SU(N) SYM ↓ Penrose limit

20個の超対称性を持つpp-wave解

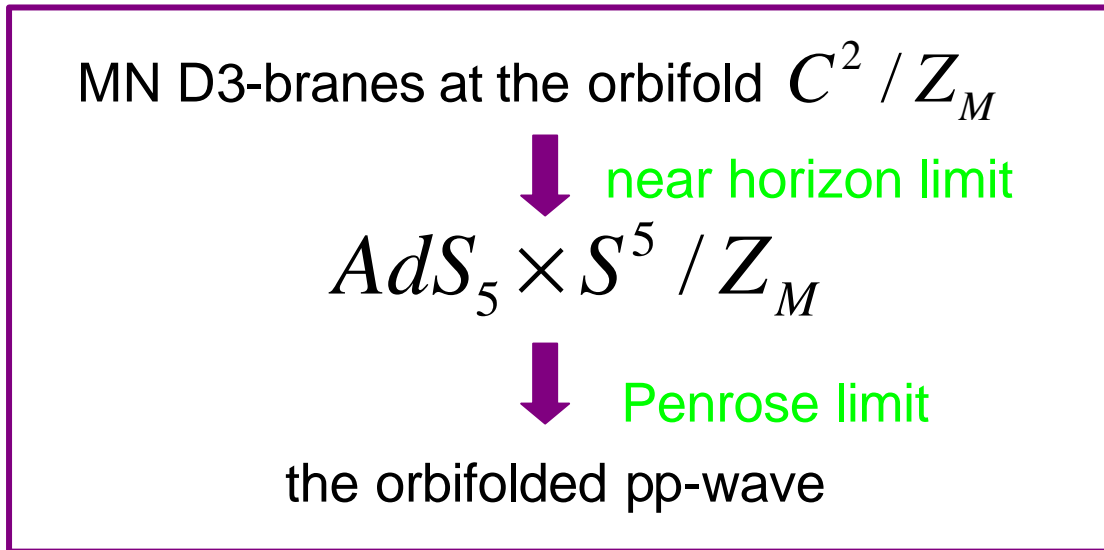
Corrado-Halmagyi-Kennaway-Warner hep-th/0205314

Gimon-Zayas-Sonnenschein hep-th/0206033

Brecher-Johnson-Louis-Myers hep-th/0206045

(ii) Orbifold

Kim-Pankiewicz-Rey-Theisen hep-th/0203080  
Takayanagi-Terashima hep-th/0203093



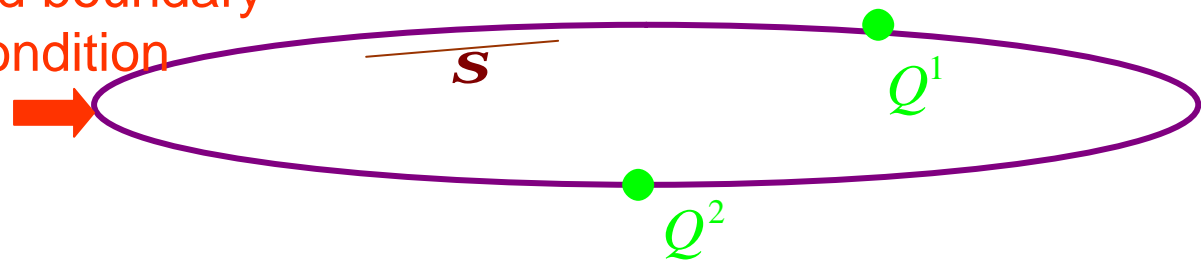
この時、双対のゲージ理論はN=2 quiver ゲージ理論 ( $G=SU(N)^M$ ) となる。

$$\sum_{l=0}^J e^{2\pi i \frac{l(n+m/M)}{J}} \text{Tr} [g_m Q^1 Z^l Q^2 Z^{J-l}] \leftrightarrow a_n^{+2} a_{-n}^{+1} |0, p^+\rangle_m$$

$$g_m Q^1 \equiv e^{-2\pi i m/M} Q^1 g_m \quad m \text{回 twist した sector}$$

twisted boundary condition

$g_m$



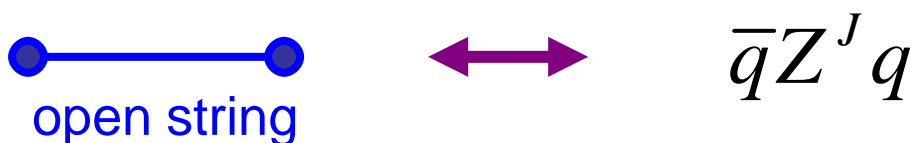
この結果はtype0B stringにも応用できる。

Bigazzi-Cotrone-Girardello-Zaffaroni hep-th/0205296  
Takayanagi hep-th/0206010

### (iii) D-branes (Half-SUSY)

Dabholkar-Parvizi (hep-th/0203231)

	+ -	1234	5678	origin	dual
D3	OO		OO	$R \times S^3$	<b>giant graviton</b> Balasubramanian- Huang-Levi-Naqui (hep-th/0204196)
D3	OO	OO		$AdS_3 \times S^1$	} <b>CFT defect</b> Lee-Park (hep-th/0203257) Skenderis-Taylor (hep-th/0204054)
D5	OO	OOO	O	$AdS_4 \times S^2$	
D5	OO	O	OOO	$AdS_2 \times S^4$	
D7	OO	OO	OOOO	$AdS_3 \times S^5$	
D7	OO	OOOO	OO	$AdS_5 \times S^3$	<b>orientifold</b> Berenstein-Gava- Maldacena-Narain -Nastase (hep-th/0203249)



Cf. Baryon D5 brane Seki hep-th/0205266  
Mateos-Ng hep-th/0205291

# Light-cone String Field Theory from Super Yang-Mills

Light-cone String Field Theory (3点相互作用)

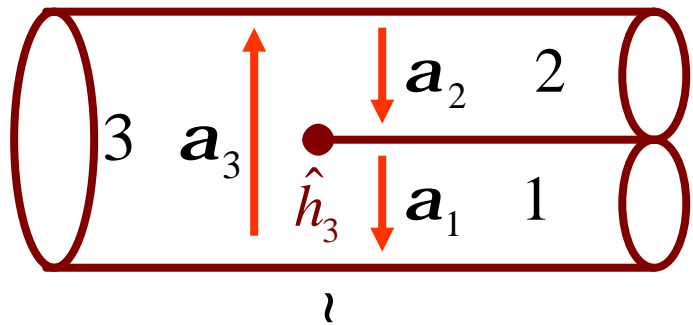
平坦な時空の場合(Mandelstam, Kaku-Kikkawa,  
Green-Schwarz-Brink)の結果がそのまま使える。

Spradlin-Volovich (hep-th/0204146)

弦理論の作用において  $4p^+t \rightarrow t$ ,  $4p^+s \rightarrow s$   
と世界面の座標をスケールする。 ( $a \equiv a' p^+$ )

$$S_b = \frac{1}{8p} \int_{-\infty}^{\infty} dt \int_0^{2p|a|} ds \left( \partial_t X^i \partial_t X^i - \partial_s X^i \partial_s X^i - m^2 X^i X^i \right)$$

特に  $m \rightarrow \infty$   
(weak SYM)  
を考える。



$$\int \Pi_{r=1}^3 [DX^{(r)}(\mathbf{s})] \mathbf{d}(X^1(\mathbf{s}) + X^2(\mathbf{s}) - X^3(\mathbf{s}))$$

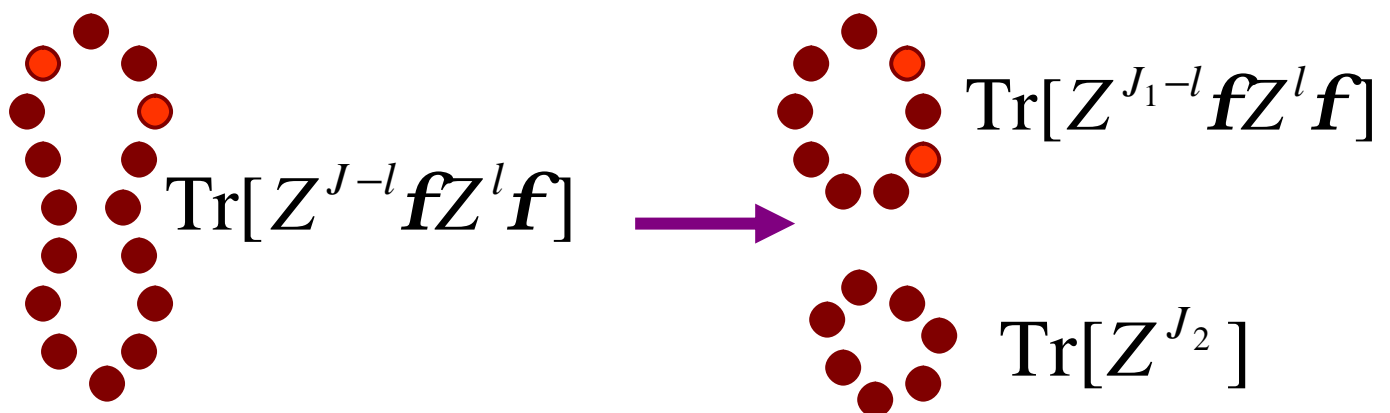
$$S_b \sim \frac{1}{8p} \int_{-\infty}^{\infty} dt \int_0^{2p|a|} ds \left( \partial_t X^i \partial_t X^i - m^2 X^i X^i \right)$$

このとき 方向の相互作用は無視でき、  
量子力学系とみなせる。(string bit)

**String Bit:**  $X^i(\mathbf{s}) \rightarrow X^i\left(2\mathbf{p}l / \sqrt{g_{YM}^2 N}\right)$   
 $(l=0,1,\dots; J-1)$

see also Verlinde hep-th/0206059

これから、ゲージ理論の三点関数との対応が次のように理解できる。



具体的には、次の対応が  $l'$  の一次のオーダーで成り立つ (ゲージ理論の弱結合領域)。

Constable-Freedman-Headrick-Minwalla-Motl-Postnikov-Skiba

$$\langle 1 | H_{LC} | 2,3 \rangle = \mathbf{m}(\Delta_1 - \Delta_2 - \Delta_3) C_{123},$$

( $C_{123} \equiv$  ゲージ理論の 3点関数の係数)

LSFTでの詳細の検証

Huang hep-th/0205311,  
 Chu-Khoze-Travaglini hep-th/0206005,  
 Spradlin-Volovich hep-th/0206073

Prefactor

Kiem-Kim-Lee-Park hep-th/0205279,  
 Lee-Moriyama-Park hep-th/0206065

# Conclusions and Discussions

pp-wave背景におけるType IIB理論は厳密に解くことができる。

•このとき、弦理論の各状態と4次元N=4 ゲージ理論の演算子の対応を具体的に示すことができ、(広い意味の) AdS/CFTの特別な場合とみなせる。

結果として、この理論は次の2つのパラメータ (結合定数)を持つ。

$$I' = \frac{g_{YM}^2 N}{J^2} = \frac{1}{(mp^+ a')^2} \sim a' \text{展開}$$

$$g_2 \sqrt{I'} = g_{YM} \frac{J}{\sqrt{N}} = 4pg_s mp^+ a' \sim \text{genus 展開}$$

## Open problems

### (i) Holography

・Light-cone stringとゲージ理論の対応を考えるとゲージ理論はユークリッド空間上に存在するとみなすべき？

・Covariant な扱いをすべきか？

・くりこみ群的解釈は？

Recent discussion on Holography: Das-Gomez-Rey hep-th/0203164,  
Kiritsis-Pioline hep-th/0204004, Leigh-Okuyama-Rozali hep-th/0204026,  
Berenstein-Nastase hep-th/0205048,  
World-sheet calculation: Imamura hep-th/0204200,  
Covariant formulation: Berkovits hep-th/0203248

### (ii) Supersymmetric enhancementの本質的理解

### (iii) 時間発展するpp-wave ( $H(x^+, x^i)$ )

### (iv) Giant Gravitonの寄与

### 今回は議論できなかった他のいくつかのテーマ

・M-theory pp-waveとMatrix理論

・ゲージ理論の半古典的弦理論による記述  
(Gubser-Klebanov-Polyakov hep-th/0204051)

・NS fluxによるpp-wave など。